

Katowice, dn. 2025-03-21

T-Mobile Polska S.A.  
ul. Marynarska 12  
02-674 Warszawa

Pełnomocnik: Karolina Skorupka  
Pełnomocnictwo numer: 399/11/23  
z dnia: 2023-11-21

**dane do korespondencji:**

**NetWorks Sp. z o.o.**  
ul. Józefa Piusa Dziekońskiego 3  
00-728 Warszawa  
tel. 453035193

**Starosta Stalowowski**  
**Starostwo Powiatowe w Stalowej Woli**  
**ul. Podleśna 15**  
**37-450 Stalowa Wola**

**Dotyczy:** ustawowego obowiązku, wynikającego z art. 152 ust. 1 i ust. 7 w związku z ust. 6 pkt 1c ustawy z dnia 27 kwietnia 2001r – Prawo ochrony środowiska (Dz.U. 2024 poz. 54).

Działając z upoważnienia T-Mobile Polska S.A. z siedzibą ul. Marynarska 12, 02-674 Warszawa, **informuję o zmianie danych w zakresie wielkości i rodzaju emisji** dla instalacji radiokomunikacyjnej **56196 (24196N!) KTB\_STALOWA\_HSW** zlokalizowanej w miejscowości STALOWA WOLA, ul. EUGENIUSZA KWIATKOWSKIEGO 1. W stosunku do informacji zawartej w zgłoszeniu realizowanym dla tej instalacji w trybie art. 152 ust. 1 i 5 ustawy z dnia 27 kwietnia 2001r – Prawo ochrony środowiska (Dz.U. 2024 poz. 54), dane ulegają zmianie w następujący sposób:

**9. Wielkość i rodzaj emisji<sup>2)</sup>:**

Pole elektromagnetyczne. EIRP poszczególnych anten zostało podane w pkt 12, tj.

Lp.	Równoważna moc promieniowana izotropowo (EIRP) [W]
1.	21477
2.	57572
3.	21477
4.	57572
5.	21477
6.	57572
7.	1779

Lp.	Równoważna moc promieniowana izotropowo (EIRP) [W]
8.	12
9.	15
10.	15
11.	12
12.	51

**12. Szczegółowe dane, odpowiednio do rodzaju instalacji, zgodne z wymaganiami określonymi w załączniku nr 2 do Rozporządzenia:**

Lp.	1)	2)	3)	4)	5)	
	Współrzędne geograficzne	Częstotliwość lub zakresy częstotliwości pracy instalacji [MHz]	Wysokość środka elektrycznego anteny [m n.p.t]	Równoważna moc promieniowana izotropowo (EIRP) [W]	Azymut [°]	Kąt pochylenia lub zakresy kątów pochylenia [°]
1.	22°3'23.5" 50°33'14.3"	800/900/1800/ 2100	40.4	21477	30	2-12/0-12/ 2-12/2-12
2.	22°3'23.4" 50°33'14.4"	3600	40.4	57572	30	-2-13
3.	22°3'23.4" 50°33'14"	800/900/1800/ 2100	40.4	21477	140	2-12/0-12/ 2-12/2-12
4.	22°3'23.5" 50°33'14.1"	3600	40.4	57572	140	-2-13
5.	22°3'23.1" 50°33'14.3"	800/900/1800/ 2100	40.4	21477	240	2-12/0-12/ 2-12/2-12
6.	22°3'23.1" 50°33'14.2"	3600	40.4	57572	240	-2-13
7.	22°3'23.2" 50°33'14.2"	80000	38	1779	95*	nd.
8.	22°3'23.5" 50°33'14.1"	38000	38	12	109*	nd.
9.	22°3'23.5" 50°33'14.1"	38000	36.8	15	153*	nd.
10.	22°3'23.5" 50°33'14.1"	38000	37.3	15	212*	nd.
11.	22°3'23.2" 50°33'14.2"	38000	36.8	12	280*	nd.
12.	22°3'23.4" 50°33'14.4"	80000	38	51	327*	nd.

\*) tolerancja azymutu od -10° do +10°.

Informuję, iż dokonane zmiany w zakresie wielkości i rodzaju emisji przedmiotowej instalacji nie powodują zmiany instalacji w sposób istotny zgodnie z art. 3 pkt 7 ustawy Poś.

W załączniku przesyłam:

1. Pełnomocnictwo
2. Kopia potwierdzenia wniesienia opłaty skarbowej.
3. Sprawozdanie z pomiarów pól elektromagnetycznych wykonanych dla celów ochrony środowiska.

Otrzymują:

1. a/a
2. adresat



Signed by /  
Podpisano przez:

Karolina  
Skorupka

Date / Data:  
2025-03-21 11:16





NetWorks Sp. z o.o.  
Laboratorium Badań Środowiskowych  
ul. Józefa Piusa Dziekońskiego 3  
00-728 Warszawa  
e-mail: [Laboratorium@networks.pl](mailto:Laboratorium@networks.pl)



AB 419

S P R A W O Z D A N I E 1067/2025/OS  
Z POMIARÓW PÓL ELEKTROMAGNETYCZNYCH  
WYKONANYCH DLA POTRZEB OCHRONY ŚRODOWISKA

Badany obiekt: Instalacja radiokomunikacyjna T-Mobile Polska S.A.  
Numer i nazwa: 56196 (24196N!) KTB\_STALOWA\_HSW  
Adres: STALOWA WOLA, EUGENIUSZA KWIATKOWSKIEGO 1, Powiat stalowowolski, WOJ.  
PODKARPACKIE

Data wykonania pomiarów: 2025-03-12

Sprawozdanie z badań bez pisemnej zgody laboratorium nie może być powielane inaczej niż w całości.  
Wynik przedstawione w niniejszym sprawozdaniu odnoszą się wyłącznie do badanego obiektu i do warunków i konfiguracji urządzeń w dniu wykonywania pomiarów.

**1. Właściciel badanego obiektu:**

T-Mobile Polska S.A., ul. Marynarska 12, 02-674 Warszawa

**2. Zleceniodawca:**

T-Mobile Polska S.A., ul. Marynarska 12, 02-674 Warszawa

**3. Przedstawiciel zleceniodawcy:**

NetWorks Sp. z o.o.

**4. Zakres zlecenia:**

Wykonanie badania i opracowanie sprawozdania z pomiarów natężenia pola elektrycznego i pola magnetycznego dla instalacji radiokomunikacyjnej T-Mobile Polska S.A. zlokalizowanej w miejscowości STALOWA WOLA, EUGENIUSZA KWIATKOWSKIEGO 1.

**5. Cel zlecenia:**

Wykonanie pomiarów pól elektromagnetycznych w otoczeniu instalacji radiokomunikacyjnej 56196 (24196N!) KTB\_STALOWA\_HSW w odniesieniu do wymagań określonych w *Rozporządzeniu Ministra Klimatu z dnia 17 lutego 2020 r. w sprawie sposobów sprawdzania dotrzymania dopuszczalnych poziomów pól elektromagnetycznych w środowisku (Dz.U. 2022 poz. 2630)*.

**6. Pomiary zostały wykonane przez:**

Surzyn Dawid  
Piotrowski Michał

**7. Informacje o źródłach pól elektromagnetycznych**

**7.1. Sposób identyfikacji badanych źródeł pól elektromagnetycznych**

Identyfikacji źródeł i parametrów technicznych dokonano na podstawie analizy dokumentacji dotyczącej zlecenia oraz obserwacji miejsca wykonywania badań.

**7.2. Opis miejsca zainstalowania anten i urządzeń technicznych. Opis obiektu badań i jego otoczenia**

Instalacja radiokomunikacyjna zlokalizowana jest Na dachu wieży ciśnień. Anteny zawieszono na masztach usytowanych na dachu budynku. Urządzenia sterujące oraz zasilające zainstalowano w kontenerze u podstawy budynku. Wokół instalacji tereny przemysłowe, hale. Instalacja radiokomunikacyjna jest obiektem bezobsługowym. Okresowe stanowiska pracy związane są z prowadzonymi w zależności od potrzeb konserwacjami, przeglądami, strojeniem i naprawami.

### 7.3. Parametry techniczne źródła pola elektromagnetycznego

Dane przedstawiające maksymalne parametry pracy instalacji przekazane przez zleceniodawcę:

Parametry systemu nadawczo-odbiorczego:

Charakterystyka promieniowania		kierunkowa					
Rzeczywisty czas pracy [h/dobę]		24					
Warunki pracy		znamionowe					
Rodzaj wytwarzanego pola		stacjonarne					
Lp.	Częstotliwość lub zakresy częstotliwości pracy [MHz]	Typ/producent anteny	liczba anten	Azymut [°]	kąt pochylecia [°]	Wysokość środka elektrycznego anteny [m n.p.t.]	Równoważna moc promieniowana izotropowo (EIRP) [W]
1	800/900/1800/2100	RRV4-65D-R6 CommScope	1	30	2-12**/0-12**/2-12**/2-12**	40.4	21477
2	3600	AAU5339W Huawei	1	30	-2-13**	40.4	57572
3	800/900/1800/2100	RRV4-65D-R6 CommScope	1	140	2-12**/0-12**/2-12**/2-12**	40.4	21477
4	3600	AAU5339W Huawei	1	140	-2-13**	40.4	57572
5	800/900/1800/2100	RRV4-65D-R6 CommScope	1	240	2-12**/0-12**/2-12**/2-12**	40.4	21477
6	3600	AAU5339W Huawei	1	240	-2-13**	40.4	57572

\* wskazane wartości kąta pochylecia anten, zgodnie z informacją uzyskaną od zleceniodawcy, są wartościami stałymi

\*\* pomiary wykonano zgodnie z pkt 13., ppkt 2 załącznika do Rozporządzenia Ministra Klimatu z dnia 17 lutego 2020 r. (Dz. U. 2022, poz. 2630).

Parametry radiolinii:

Charakterystyka promieniowania		kierunkowa					
Rzeczywisty czas pracy [h/dobę]		24					
Warunki pracy		znamionowe					
Rodzaj wytwarzanego pola		stacjonarne					
Lp.	Linia radiowa			Antena			
	Typ/ Producent	Częstotliwość pracy [GHz]	Równoważna moc promieniowana izotropowo (EIRP) [W]	Typ/ producent	Średnica anteny [m]	Azymut [°]	Wysokość zainstalowania n.p.t [m]
1.	RTN 380AX DC 70/80GHz 500MHz Huawei	80	1779	A80D03 Huawei	0.3	95	38
2.	NEC iPasolink 200 NEC	38	12	VHLP1-38 Andrew	0.3	109	38
3.	NEC iPasolink 100E NEC	38	15	VHLP1-38 Andrew	0.3	153	36.8
4.	NEC iPasolink 200 NEC	38	15	VHLP1-38 Andrew	0.3	212	37.3
5.	NEC iPasolink 100E NEC	38	12	VHLP1-38 Andrew	0.3	280	36.8
6.	Ericsson Mini-Link 6352 Ericsson	80	51	ANT2_0.3 80 HP Ericsson	0.3	327	38

Sprawozdanie z badań bez pisemnej zgody laboratorium nie może być powielane inaczej niż w całości.

Wynik przedstawione w niniejszym sprawozdaniu odnoszą się wyłącznie do badanego obiektu i do warunków i konfiguracji urządzeń w dniu wykonywania pomiarów.

#### 7.4 Inne źródła pól elektromagnetycznych

Na podstawie informacji otrzymanych od użytkownika oraz obserwacji otoczenia miejsca wykonywania pomiarów stwierdzono występowanie innych źródeł pola-EM, pracujących w systemie: telefonii komórkowej (800MHz-2600MHz), linii radiowych (5GHz - 90GHz), które istotnie wpływają na wyniki pomiarów.

### 8. Opis pomiarów

#### 8.1. Metoda badań

Zgodna z rozporządzeniem Ministra Klimatu z dnia 17 lutego 2020 r. w sprawie sposobów sprawdzania dotrzymania dopuszczalnych poziomów pól elektromagnetycznych w środowisku (Dz.U. 2022 poz. 2630), określona w pkt 25 ppkt 1 załącznika do niniejszego rozporządzenia.

#### 8.2. Termin pomiarów i warunki środowiskowe

Podczas wykonywania pomiarów pól elektromagnetycznych nie występowały opady atmosferyczne. Wyniki pomiaru parametrów pogodowych przedstawia poniższa tabela:

Data [rrrr-mm-dd]	Godzina [hh:mm-hh:mm]	Warunki środowiskowe			
		Temperatura [°C]		Wilgotność względna [%]	
2025-03-12	09:10-10:40	Przed pomiarem	Po pomiarach	Przed pomiarem	Po pomiarach
		10.4	14.2	68.4	59.7

Przedstawione wyżej warunki środowiskowe, występujące podczas wykonywania pomiarów pól elektromagnetycznych, są zgodne ze specyfikacją techniczną użytego zestawu pomiarowego.

#### 8.3. Warunki pracy urządzeń nadawczych

Podczas pomiarów w przypadku uzyskania wyniku pomiaru szerokopasmowego wykonanego zastosowaną metodą, dla zakresów częstotliwości od 10 MHz do 300 GHz, powiększonego o rozszerzoną niepewność pomiaru U dla współczynnika rozszerzenia  $k = 2$  przekraczającego 70% najniższej dopuszczalnej wartości składowej elektrycznej lub magnetycznej pola dla objętych pomiarami zakresów częstotliwości, uwzględnia się poprawki pomiarowe przekazane przez zleceniodawcę, umożliwiające uwzględnienie maksymalnych parametrów pracy instalacji zgodnie z pkt 7 załącznika do Rozporządzeniem Ministra Klimatu z dnia 17 lutego 2020 r. w sprawie sposobów sprawdzania dotrzymania dopuszczalnych poziomów pól elektromagnetycznych w środowisku (Dz. U. 2022, poz. 2630) zaznaczając, że wymagane jest wykonanie pomiaru z wykorzystaniem miernika selektywnego. W przypadku uzyskania wyniku pomiaru szerokopasmowego wykonanego zastosowaną metodą, dla zakresów częstotliwości od 10 MHz do 300 GHz, powiększonego o rozszerzoną niepewność pomiaru U dla współczynnika rozszerzenia  $k = 2$  nieprzekraczającego 70% najniższej dopuszczalnej wartości składowej elektrycznej lub magnetycznej pola dla objętych pomiarami zakresów częstotliwości, nie uwzględnia się poprawek pomiarowych.

#### 8.4. Wyposażenie pomiarowe

Zestaw pomiarowy służący do pomiaru natężenia składowej elektrycznej pola elektromagnetycznego złożony z szerokopasmowego miernika i sondy pomiarowej:

Oznaczenie miernika	Producent	Model	Numer fabryczny	Oznaczenie sondy	Producent	Model	Numer fabryczny
M-17	Narda Safety Test Solution	Miernik pól elektromagnetycznych NBM-550	H-0128	S-17	Narda Safety Test Solution	Sonda EF909 1	A-0056

Mierniki natężenia pola elektromagnetycznego podlegają okresowemu sprawdzeniu zgodnie z procedurą wewnętrzną P-03 i PB-01. Świadczenie wzorcowania zestawu pomiarowego z dnia 29 marca 2023 o numerze LWIMP/W/131/23 wydane przez Politechnikę Wrocławską.

Data ważności świadectwa wzorcowania: 29 marca 2025 (zgodnie z procedurą wewnętrzną P-03).

Sprawozdanie z badań bez pisemnej zgody laboratorium nie może być powielane inaczej niż w całości.  
Wynik przedstawione w niniejszym sprawozdaniu odnoszą się wyłącznie do badanego obiektu i do warunków i konfiguracji urządzeń w dniu wykonywania pomiarów.



Oznaczenie miernika	Producent	Model	Numer fabryczny	Oznaczenie sondy	Producent	Model	Numer fabryczny
M-17	Narda Safety Test Solution	Miernik pól elektromagnetycznych NBM-550	H-0128	S-18	Narda Safety Test Solution	Sonda EF039 1	D-1437

Mierniki natężenia pola elektromagnetycznego podlegają okresowemu sprawdzeniu zgodnie z procedurą wewnętrzną P-03 i PB-01. Świadectwo wzorcowania zestawu pomiarowego z dnia 29 marca 2023 o numerze LWIMP/W/131/23 wydane przez Politechnika Wrocławską.  
Data ważności świadectwa wzorcowania: 29 marca 2025 (zgodnie z procedurą wewnętrzną P-03).

**Termohigrometr:**

Oznaczenie:	TH-06	Producent:	AZ INSTRUMENT CORP	Model:	Termohigrometr AZ8706
-------------	-------	------------	--------------------	--------	-----------------------

Data ważności świadectwa wzorcowania: 7 stycznia 2028 (zgodnie z procedurą wewnętrzną P-03).

**Dalmierz:**

Oznaczenie	Producent	Typ	Numer seryjny	Nr świadectwa wzorcowania	Data świadectwa wzorcowania
D-13	Leica	Dalmierz Leica Disto D510	1051011710	4665.1-M11-4180-1748/15	27 listopada 2015

Data ważności świadectwa wzorcowania: 27 listopada 2025 (zgodnie z procedurą wewnętrzną P-03).

**Odbiornik GNSS:**

Oznaczenie	Producent	Model	Numer fabryczny
G-06	Stonex	S7-G GIS	S7G4063010013

Odbiorniki podlegają okresowemu sprawdzeniu zgodnie z procedurą wewnętrzną P-03.

## 9. Wyniki pomiarów

### Pole elektryczne

Nr pionu	Opis umiejscowienia pionu (punktu) pomiarowego	Wysokość pomiaru [m]	Zmierzona wartość natężenia pola elektrycznego E [V/m] <sup>1,5</sup>			Wartość natężenia pola elektrycznego powiększona o niepewność pomiaru <sup>4</sup> E [V/m]	Wskaźnikowa wartość poziomu emisji pól elektromagnetycznych WME <sup>3</sup>	Współrzędne geograficzne pionu (punktu) pomiarowego <sup>2</sup>
			Sonda S-17	Sonda S-18	Wartość			
1	GKP w odległości poziomej 14m od anteny radioliniowej az. 212°	2.0	1.5	1.5	1.5	2.4	0.08	50°33'13.7" 22°3'23.0"
2	GKP w odległości poziomej 53m od anteny radioliniowej az. 212°	2.0	1.6	1.6	1.6	2.5	0.09	50°33'12.6" 22°3'22.0"
3	GKP w odległości poziomej 6m od anteny sektorowej az. 240°	2.0	1.5	1.5	1.5	2.4	0.08	50°33'14.0" 22°3'22.7"
4	GKP w odległości poziomej 67m od anteny sektorowej az. 240°	2.0	2.1	2.1	2.1	3.3	0.12	50°33'13.3" 22°3'20.2"
5	PKP na az. 194° w odległości poziomej 44m od anteny sektorowej az. 240°	2.0	1.5	1.5	1.5	2.4	0.08	50°33'13.0" 22°3'22.7"
6	PKP na az. 210° w odległości poziomej 40m od anteny sektorowej az. 240°	2.0	1.4	1.4	1.4	2.2	0.08	50°33'13.0" 22°3'22.0"
7	PKP na az. 225° w odległości poziomej 40m od anteny sektorowej az. 240°	2.0	1.7	1.7	1.7	2.7	0.1	50°33'13.3" 22°3'21.6"
8	PKP na az. 255° w odległości poziomej 36m od anteny sektorowej az. 240°	2.0	1.5	1.5	1.5	2.4	0.08	50°33'14.0" 22°3'21.2"
9	PKP na az. 270° w odległości poziomej 39m od anteny sektorowej az. 240°	2.0	1.6	1.6	1.6	2.5	0.09	50°33'14.0" 22°3'21.2"
10	PKP na az. 286° w odległości poziomej 33m od anteny sektorowej az. 240°	2.0	1.4	1.4	1.4	2.2	0.08	50°33'14.4" 22°3'21.6"

Sprawozdanie z badań bez pisemnej zgody laboratorium nie może być powielane inaczej niż w całości.  
Wynik przedstawione w niniejszym sprawozdaniu odnoszą się wyłącznie do badanego obiektu i do warunków i konfiguracji urządzeń w dniu wykonywania pomiarów.

11	GKP w odległości poziomej 52m od anteny radioliniowej az. 327°	2.0	1.5	1.5	1.5	2.4	0.08	50°33'15.8" 22°3'22.0"
12	GKP w odległości poziomej 11m od anteny radioliniowej az. 327°	2.0	1.4	1.0	1.4	2.2	0.08	50°33'14.8" 22°3'23.0"
13	GKP w odległości poziomej 14m od anteny sektorowej az. 30°	2.0	1.5	1.5	1.5	2.4	0.08	50°33'14.8" 22°3'23.8"
14	PKP na az. 344° w odległości poziomej 45m od anteny sektorowej az. 30°	2.0	2.1	2.1	2.1	3.3	0.12	50°33'15.8" 22°3'22.7"
15	PKP na az. 359° w odległości poziomej 42m od anteny sektorowej az. 30°	2.0	1.9	1.9	1.9	3	0.11	50°33'15.8" 22°3'23.4"
16	PKP na az. 15° w odległości poziomej 50m od anteny sektorowej az. 30°	2.0	1.8	1.8	1.8	2.8	0.1	50°33'15.8" 22°3'24.1"
17	GKP w odległości poziomej 41m od anteny sektorowej az. 30°	2.0	1.9	1.9	1.9	3	0.11	50°33'15.5" 22°3'24.5"
18	PKP na az. 45° w odległości poziomej 49m od anteny sektorowej az. 30°	2.0	1.7	1.7	1.7	2.7	0.1	50°33'15.5" 22°3'25.2"
19	PKP na az. 60° w odległości poziomej 51m od anteny sektorowej az. 30°	2.0	1.8	1.8	1.8	2.8	0.1	50°33'15.1" 22°3'25.6"
20	PKP na az. 76° w odległości poziomej 47m od anteny sektorowej az. 30°	2.0	1.6	1.6	1.6	2.5	0.09	50°33'14.8" 22°3'25.9"
-	GKP w odległości poziomej 297m od anteny sektorowej az. 30°	0.3-2.0	<1.0*	<1.0*	<1.0*	1.6	0.06	50°33'22.7" 22°3'31.0"
22	GKP w odległości poziomej 9m od anteny radioliniowej az. 95°	2.0	1.6	1.6	1.6	2.5	0.09	50°33'14.0" 22°3'23.8"
23	GKP w odległości poziomej 13m od anteny radioliniowej az. 109°	2.0	1.7	1.7	1.7	2.7	0.1	50°33'14.0" 22°3'24.1"
24	GKP w odległości poziomej 18m od anteny radioliniowej az. 153°	2.0	1.6	1.6	1.6	2.5	0.09	50°33'13.7" 22°3'23.8"
25	GKP w odległości poziomej 57m od anteny radioliniowej az. 153°	2.0	1.9	1.9	1.9	3	0.11	50°33'12.6" 22°3'24.8"
26	GKP w odległości poziomej 11m od anteny sektorowej az. 140°	2.0	1.7	1.7	1.7	2.7	0.1	50°33'13.7" 22°3'23.8"
27	GKP w odległości poziomej 34m od anteny sektorowej az. 140°	2.0	1.8	1.8	1.8	2.8	0.1	50°33'13.3" 22°3'24.5"
28	PKP na az. 92° w odległości poziomej 13m od anteny sektorowej az. 140°	2.0	1.6	1.6	1.6	2.5	0.09	50°33'14.0" 22°3'24.1"
29	PKP na az. 125° w odległości poziomej 20m od anteny sektorowej az. 140°	2.0	1.7	1.7	1.7	2.7	0.1	50°33'13.7" 22°3'24.5"
30	PKP na az. 155° w odległości poziomej 46m od anteny sektorowej az. 140°	2.0	1.8	1.8	1.8	2.8	0.1	50°33'12.6" 22°3'24.5"
31	PKP na az. 170° w odległości poziomej 41m od anteny sektorowej az. 140°	2.0	1.7	1.7	1.7	2.7	0.1	50°33'12.6" 22°3'23.8"
32	PKP na az. 186° w odległości poziomej 39m od anteny sektorowej az. 140°	2.0	1.6	1.6	1.6	2.5	0.09	50°33'13.0" 22°3'23.4"
33	GKP w odległości poziomej 46m od anteny radioliniowej az. 280°	2.0	1.6	1.6	1.6	2.5	0.09	50°33'14.4" 22°3'20.9"
34	GKP w odległości poziomej 15m od anteny radioliniowej az. 280°	2.0	1.7	1.7	1.7	2.7	0.1	50°33'14.4" 22°3'22.7"
35	PKP na az. 317° w odległości poziomej 51m od anteny sektorowej az. 240°, narożnik budynku	2.0	1.8	1.8	1.8	2.8	0.1	50°33'15.5" 22°3'21.2"
-	GKP w odległości poziomej 681m od anteny sektorowej az. 240°	0.3-2.0	<1.0*	<1.0*	<1.0*	1.6	0.06	50°33'3.2" 22°2'53.2"
-	GKP w odległości poziomej 539m od anteny sektorowej az. 140°	0.3-2.0	<1.0*	<1.0*	<1.0*	1.6	0.06	50°33'0.7" 22°3'41.0"

Sprawozdanie z badań bez pisemnej zgody laboratorium nie może być powielane inaczej niż w całości.  
 Wynik przedstawione w niniejszym sprawozdaniu odnoszą się wyłącznie do badanego obiektu i do warunków i konfiguracji urządzeń w dniu wykonywania pomiarów.

Pole magnetyczne (wyznaczone na podstawie pomiaru wartości natężenia pola elektrycznego)

Nr pionu	Opis umiejscowienia pionu (punktu pomiarowego)	Wysokość pomiaru [m]	Wartość natężenia pola magnetycznego H [A/m] <sup>1</sup>			Wartość natężenia pola magnetycznego powiększona o niepewność pomiaru <sup>1</sup> H [A/m]	Wskaźnikowa wartość poziomu emisji pól elektromagnetycznych WM <sub>H</sub> <sup>3</sup>	Współrzędne geograficzne pionu (punktu pomiarowego) <sup>2</sup>
			Sonda S-17	Sonda S-18	Wartość			
1	GKP w odległości poziomej 14m od anteny radioliniowej az. 212°	2.0	0.004	0.004	0.004	0.006	0.09	50°33'13.7" 22°3'23.0"
2	GKP w odległości poziomej 53m od anteny radioliniowej az. 212°	2.0	0.004	0.004	0.004	0.007	0.09	50°33'12.6" 22°3'22.0"
3	GKP w odległości poziomej 6m od anteny sektorowej az. 240°	2.0	0.004	0.004	0.004	0.006	0.09	50°33'14.0" 22°3'22.7"
4	GKP w odległości poziomej 67m od anteny sektorowej az. 240°	2.0	<b>0.006</b>	<b>0.006</b>	0.006	0.009	0.12	50°33'13.3" 22°3'20.2"
5	PKP na az. 194° w odległości poziomej 44m od anteny sektorowej az. 240°	2.0	0.004	0.004	0.004	0.006	0.09	50°33'13.0" 22°3'22.7"
6	PKP na az. 210° w odległości poziomej 40m od anteny sektorowej az. 240°	2.0	0.004	0.004	0.004	0.006	0.08	50°33'13.0" 22°3'22.0"
7	PKP na az. 225° w odległości poziomej 40m od anteny sektorowej az. 240°	2.0	0.005	0.005	0.005	0.007	0.1	50°33'13.3" 22°3'21.6"
8	PKP na az. 255° w odległości poziomej 36m od anteny sektorowej az. 240°	2.0	0.004	0.004	0.004	0.006	0.09	50°33'14.0" 22°3'21.2"
9	PKP na az. 270° w odległości poziomej 39m od anteny sektorowej az. 240°	2.0	0.004	0.004	0.004	0.007	0.09	50°33'14.0" 22°3'21.2"
10	PKP na az. 286° w odległości poziomej 33m od anteny sektorowej az. 240°	2.0	0.004	0.004	0.004	0.006	0.08	50°33'14.4" 22°3'21.6"
11	GKP w odległości poziomej 52m od anteny radioliniowej az. 327°	2.0	0.004	0.004	0.004	0.006	0.09	50°33'15.8" 22°3'22.0"
12	GKP w odległości poziomej 11m od anteny radioliniowej az. 327°	2.0	0.004	0.003	0.004	0.006	0.08	50°33'14.8" 22°3'23.0"
13	GKP w odległości poziomej 14m od anteny sektorowej az. 30°	2.0	0.004	0.004	0.004	0.006	0.09	50°33'14.8" 22°3'23.8"
14	PKP na az. 344° w odległości poziomej 45m od anteny sektorowej az. 30°	2.0	<b>0.006</b>	<b>0.006</b>	0.006	0.009	0.12	50°33'15.8" 22°3'22.7"
15	PKP na az. 359° w odległości poziomej 42m od anteny sektorowej az. 30°	2.0	0.005	0.005	0.005	0.008	0.11	50°33'15.8" 22°3'23.4"
16	PKP na az. 15° w odległości poziomej 50m od anteny sektorowej az. 30°	2.0	0.005	0.005	0.005	0.008	0.1	50°33'15.8" 22°3'24.1"
17	GKP w odległości poziomej 41m od anteny sektorowej az. 30°	2.0	0.005	0.005	0.005	0.008	0.11	50°33'15.5" 22°3'24.5"
18	PKP na az. 45° w odległości poziomej 49m od anteny sektorowej az. 30°	2.0	0.005	0.005	0.005	0.007	0.1	50°33'15.5" 22°3'25.2"
19	PKP na az. 60° w odległości poziomej 51m od anteny sektorowej az. 30°	2.0	0.005	0.005	0.005	0.008	0.1	50°33'15.1" 22°3'25.6"
20	PKP na az. 76° w odległości poziomej 47m od anteny sektorowej az. 30°	2.0	0.004	0.004	0.004	0.007	0.09	50°33'14.8" 22°3'25.9"
-	GKP w odległości poziomej 297m od anteny sektorowej az. 30°	0.3-2.0	<0.003*	<0.003*	<0.003*	0.004	0.06	50°33'22.7" 22°3'31.0"
22	GKP w odległości poziomej 9m od anteny radioliniowej az. 95°	2.0	0.004	0.004	0.004	0.007	0.09	50°33'14.0" 22°3'23.8"

Sprawozdanie z badań bez pisemnej zgody laboratorium nie może być powielane inaczej niż w całości.  
 Wynik przedstawione w niniejszym sprawozdaniu odnoszą się wyłącznie do badanego obiektu i do warunków i konfiguracji urządzeń w dniu wykonywania pomiarów.

23	GKP w odległości poziomej 13m od anteny radioliniowej az. 109°	2.0	0.005	0.005	0.005	0.007	0.1	50°33'14.0" 22°3'24.1"
24	GKP w odległości poziomej 18m od anteny radioliniowej az. 153°	2.0	0.004	0.004	0.004	0.007	0.09	50°33'13.7" 22°3'23.8"
25	GKP w odległości poziomej 57m od anteny radioliniowej az. 153°	2.0	0.005	0.005	0.005	0.008	0.11	50°33'12.6" 22°3'24.8"
26	GKP w odległości poziomej 11m od anteny sektorowej az. 140°	2.0	0.005	0.005	0.005	0.007	0.1	50°33'13.7" 22°3'23.8"
27	GKP w odległości poziomej 34m od anteny sektorowej az. 140°	2.0	0.005	0.005	0.005	0.008	0.1	50°33'13.3" 22°3'24.5"
28	PKP na az. 92° w odległości poziomej 13m od anteny sektorowej az. 140°	2.0	0.004	0.004	0.004	0.007	0.09	50°33'14.0" 22°3'24.1"
29	PKP na az. 125° w odległości poziomej 20m od anteny sektorowej az. 140°	2.0	0.005	0.005	0.005	0.007	0.1	50°33'13.7" 22°3'24.5"
30	PKP na az. 155° w odległości poziomej 46m od anteny sektorowej az. 140°	2.0	0.005	0.005	0.005	0.008	0.1	50°33'12.6" 22°3'24.5"
31	PKP na az. 170° w odległości poziomej 41m od anteny sektorowej az. 140°	2.0	0.005	0.005	0.005	0.007	0.1	50°33'12.6" 22°3'23.8"
32	PKP na az. 186° w odległości poziomej 39m od anteny sektorowej az. 140°	2.0	0.004	0.004	0.004	0.007	0.09	50°33'13.0" 22°3'23.4"
33	GKP w odległości poziomej 46m od anteny radioliniowej az. 280°	2.0	0.004	0.004	0.004	0.007	0.09	50°33'14.4" 22°3'20.9"
34	GKP w odległości poziomej 15m od anteny radioliniowej az. 280°	2.0	0.005	0.005	0.005	0.007	0.1	50°33'14.4" 22°3'22.7"
35	PKP na az. 317° w odległości poziomej 51m od anteny sektorowej az. 240°, narożnik budynku	2.0	0.005	0.005	0.005	0.008	0.1	50°33'15.5" 22°3'21.2"
-	GKP w odległości poziomej 681m od anteny sektorowej az. 240°	0.3-2.0	<0.003*	<0.003*	<0.003*	0.004	0.06	50°33'3.2" 22°2'53.2"
-	GKP w odległości poziomej 539m od anteny sektorowej az. 140°	0.3-2.0	<0.003*	<0.003*	<0.003*	0.004	0.06	50°33'0.7" 22°3'41.0"

GKP – Główny Kierunek Pomiarowy

PKP – Pomocniczy Kierunek Pomiarowy

<sup>1</sup> wyniki oznaczone \* są wynikami poniżej czułości zestawu pomiarowego i są wynikami spoza zakresu akredytacji. Do obliczenia wyniku skorygowanego przyjęto wartość skorelowaną z rzeczywistym wynikiem pomiaru - dolną granicę akredytowanego zakresu pomiarowego metody

<sup>2</sup> współrzędne geograficzne pozyskane metodą pomiaru bezpośredniego

<sup>3</sup> do wyznaczenia wartości wskaźnikowej  $WME$  i  $WMH$  przyjęto na podstawie uzgodnień z klientem oraz rozpoznania źródeł, jako wartości dopuszczalne pola elektrycznego i magnetycznego odpowiednio 28 V/m i 0,073 A/m.

<sup>4</sup> do wyznaczenia niepewności dla wyników poniżej czułości zestawu pomiarowego, przyjęto niepewność dla minimalnej wartości z zakresu pomiarowego.

<sup>5</sup> maksymalna wartość chwilowa

Niepewność oszacowano zgodnie z dokumentem P-03 „Procedura nadzoru nad wyposażeniem” w postaci niepewności rozszerzonej wynikającej z niepewności standardowej pomnożonej przez współczynnik rozszerzenia  $k=2$ .

Całkowita szacowana niepewność rozszerzona składowej E wynosi odpowiednio:

sonda S-17: 57.4% dla częstotliwości do 4 GHz, sonda S-18: 39.2% dla częstotliwości do 4 GHz

Pomiar wykonany metodą 2 sond, opisaną w artykule Medycyna Pracy 2015;66(5):701–712 „Optymalizacja metodyki pomiaru wieloczęstotliwościowego pola elektromagnetycznego stacji bazowych telefonii komórkowej”.

Umiejscowienie pionów (punktów) pomiarowych przedstawiono w załączniku nr 2 do niniejszego sprawozdania.

Sprawozdanie z badań bez pisemnej zgody laboratorium nie może być powielane inaczej niż w całości.  
 Wynik przedstawione w niniejszym sprawozdaniu odnoszą się wyłącznie do badanego obiektu i do warunków i konfiguracji urządzeń w dniu wykonywania pomiarów.

## 10. Omówienie wyników pomiarów

W związku z tym, że żadna z wartości zmierzonych, udokumentowanych w tabelach w pkt. 9, uzyskanych w skutek zastosowania pomiaru szerokopasmowego, powiększonego o rozszerzoną niepewność pomiaru  $U$  dla współczynnika rozszerzenia  $k = 2$  nie przekroczyła 70% najniższej dopuszczalnej wartości składowej elektrycznej lub magnetycznej pola dla objętych pomiarami zakresów częstotliwości, nie uwzględnia się poprawek pomiarowych.

W wyniku zastosowania sposobu sprawdzenia dotrzymania dopuszczalnych poziomów pól elektromagnetycznych w środowisku, zgodnie pkt 25 ppkt 1 Rozporządzenia Ministra Klimatu z dnia 17 lutego 2020 r. (Dz. U. 2022, poz. 2630), w związku z tym, że żadna z wartości wskaźnikowych, udokumentowanych w tabelach w pkt. 9 nie przekracza wartości 1, stwierdza się, że w miejscach, w których wykonano pomiary w otoczeniu instalacji radiokomunikacyjnej 56196 (24196N!) KTB\_STALOWA\_HSW, dopuszczalne poziomy pól elektromagnetycznych w środowisku należy uznać za dotrzymane.

Miejsca niedostępne podczas wykonywania pomiarów wskazane zostały w pkt. 9 (Wyniki pomiarów) lub na załączniku przedstawiającym usytuowanie pionów pomiarowych.

## 11. Podstawa prawna

- 1) Ustawa z dnia 27 kwietnia 2001 r. Prawo ochrony środowiska (Dz.U. 2024 poz. 54 z późn. zm.)
- 2) Rozporządzenie Ministra Zdrowia z dnia 17 grudnia 2019 r. w sprawie dopuszczalnych poziomów pól elektromagnetycznych w środowisku (Dz. U. 2019, poz. 2448)
- 3) Rozporządzenie Ministra Klimatu z dnia 17 lutego 2020 r. w sprawie sposobów sprawdzania dotrzymania dopuszczalnych poziomów pól elektromagnetycznych w środowisku (Dz. U. 2022, poz. 2630),
- 4) Akredytacja nr AB 419 wydana przez Polskie Centrum Akredytacji (wydanie 22, z dnia 9 stycznia 2024 r.)

## 12. Spis załączników

- Załącznik 1. Lokalizacja obiektu badań
- Załącznik 2. Usytuowanie pionów (punktów) pomiarowych
- Załącznik 3. Dokumentacja fotograficzna obiektu badań

## 13. Data wydania i autoryzowania sprawozdania

Obliczenia i sprawozdanie wykonał :



Signed by /  
Podpisano przez:  
Anna Kacperska  
Date / Data:  
2025-03-19 11:03

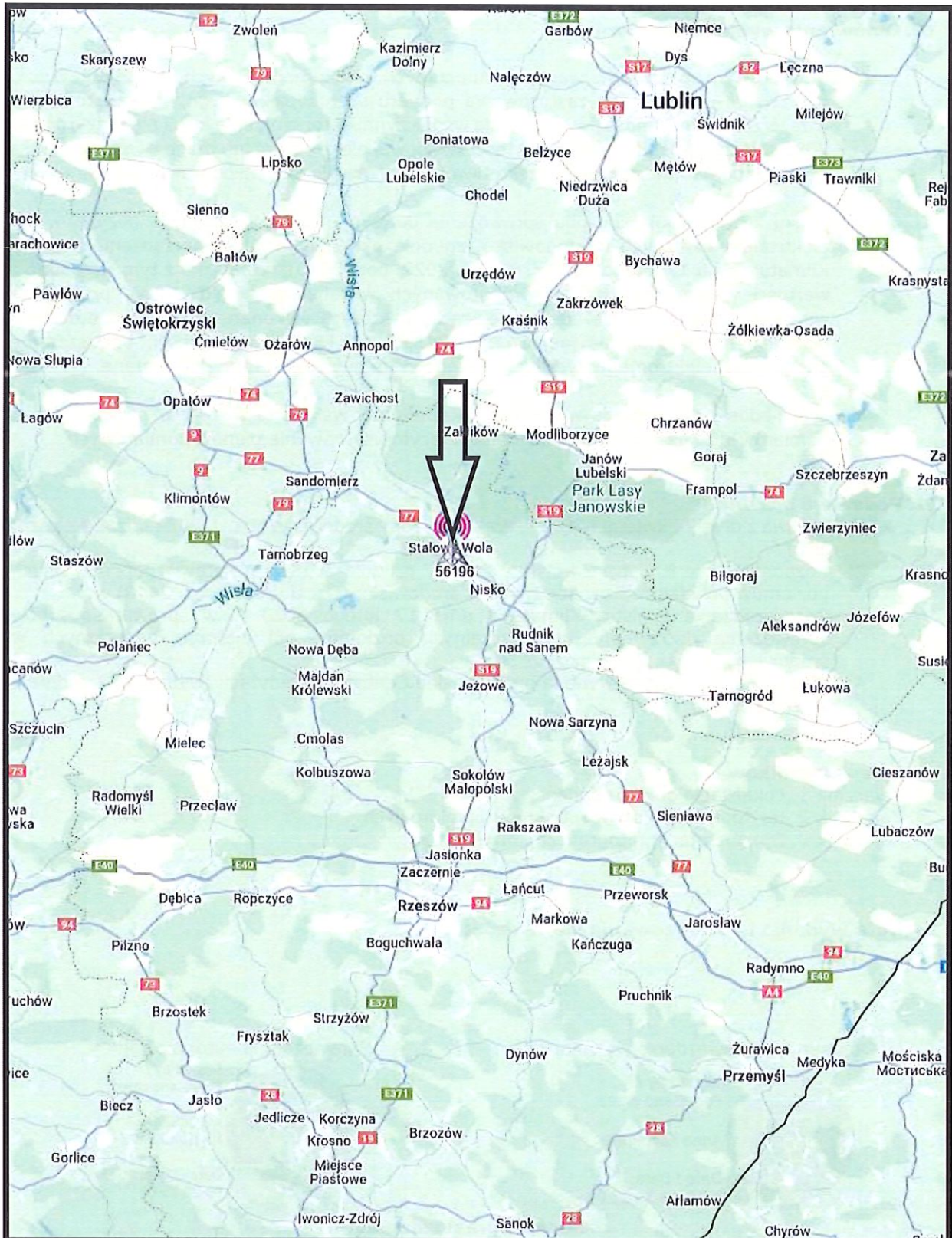
Sprawozdanie autoryzował:



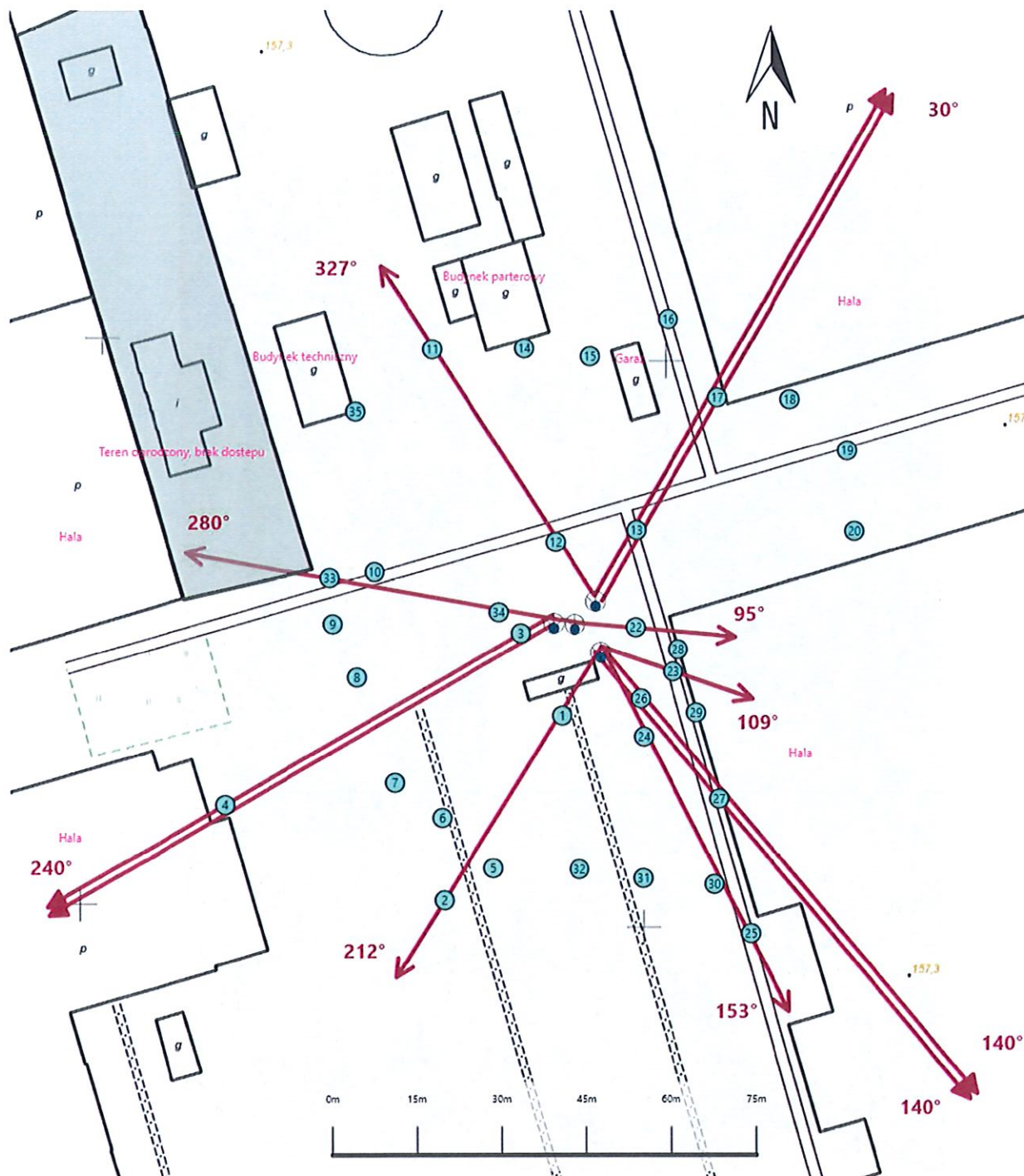
Signed by /  
Podpisano przez:  
AGNIESZKA  
HARBACEWICZ  
Date / Data: 2025-  
03-20 13:08






**Koniec sprawozdania**

Sprawozdanie z badań bez pisemnej zgody laboratorium nie może być powielane inaczej niż w całości.  
Wynik przedstawione w niniejszym sprawozdaniu odnoszą się wyłącznie do badanego obiektu i do warunków i konfiguracji urządzeń w dniu wykonywania pomiarów.



Załącznik nr 1	<b>INSTALACJA RADIOKOMUNIKACYJNA T-Mobile Polska S.A. 56196 (24196N!) KTB_STALOWA_HSW</b> Lokalizacja instalacji radiokomunikacyjnej
----------------	---



Załącznik nr 2	<p style="text-align: center;"><b>Instalacja radiokomunikacyjna T-Mobile Polska S.A.</b>  <b>KTB_STALOWA_HSW (24196N!)</b>                  Usytuowanie pionów pomiarowych w otoczeniu instalacji radiokomunikacyjnej</p>
	<p>Legenda:</p> <div style="display: flex; justify-content: space-around; align-items: flex-start;"> <div style="text-align: center;">                   Źródło pola elektromagnetycznego             </div> <div style="text-align: center;">                   Brak dostępu             </div> <div style="text-align: center;">                   Pion pomiarowy             </div> <div style="text-align: center;">                   Kierunek oddziaływania anten sektorowych             </div> <div style="text-align: center;">                   Kierunek oddziaływania anten radiolinowych             </div> </div>



Załącznik nr 3

INSTALACJA RADIOKOMUNIKACYJNA T-Mobile Polska S.A. 56196 (24196N!) KTB\_STALOWA\_HSW  
Zdjęcia instalacji radiokomunikacyjnej